

## 대수총내 고준위/중저준위 방사성핵종의 거동 예측을 위한 Am, 희토류원소, Co 흡착특성 비교: 화강암질 매체를 중심으로

이승구, 이길용, 윤윤열, 조수영, 김용재  
한국지질자원연구원, 대전광역시 유성구 가정동 30  
[sg1@kigam.re.kr](mailto:sg1@kigam.re.kr)

### 1. 서언

희토류원소는 그 유사한 물리적·화학적 특성으로 인해 지질시료(물, 암석)의 생성 및 분화과정을 설명하기 위한 지구화학적 연구도구로서 지난 40여년간 매우 유용하게 사용되어져 왔다. 또한 희토류원소와 액티나이드 원소는 물리적·화학적 특성이 매우 유사하기 때문에 방사성폐기물 선정지와의 관련연구에 있어서 유사체(analogue)로서 매우 활발하게 연구되어 왔다 (Krauskopf, 1986; Johannesson et al., 1996). 본 연구팀은 중/저준위 핵종인 Co와 고준위 핵종인 Am의 지질매체내 흡착특성을 비교하고, 액티나이드 계열원소와 유사한 물리적·화학적 특성을 갖는 희토류원소가 액티나이드의 최적 유사체임을 증명하기 위한 batch 실험을 수행하였다. 이 발표에서는 1) 희토류원소와 액티나이드 원소의 이온반경, 배위수 등의 상호비교와 2) 응집력(cohesive energy)의 유사성과 물리적/화학적 특성 그리고 3) 희토류원소 지구화학의 연구결과를 토대로 하여, 이를 방사성 폐기물처분후의 지질매체내에서 발생될 수 있는 고준위 방사성핵종의 거동을 예측함에 있어서 희토류원소의 유용함에 대한 실험결과를 보고하고자 한다. 특히 이 발표에서는 동일한 암석학적 특성을 갖는 화강암이라 할지라도 핵종의 흡착특성에 있어서는 서로 간에 차이가 있음을 토의하고자 한다.

### 2. 실험방법

#### 2.1. 지질매체 및 암석/지하수의 전처리

핵종원소의 지질매체별 흡착특성을 밝혀내기 위해서 금번 실험에서는 암상별 지질학적/지구화학적 특성을 고려하여 우리나라의 기반암종 대표적인 주 구성암석이며 전국적으로 분포하고 있는 화강암을 흡착실험대상 암석으로 사용하였다. 흡착실험에는 pH 6.7전후의欲을 갖으며 Ca-Na-HCO<sub>3</sub>형의 수질특성을 보여주는 한국지질자원연구원의 지하수를 사용하였다.

각 암석시료 10g을 500mL PP bottle에 넣고 지하수 200mL씩을 혼합한 후, 20±2°C의 항온 실험실에서 50 strokes/min 조건으로 6주간 교반하여 실험에 사용할 암석/지하수계를 pre-equilibrium상태에 도달시켰다. 교반이 끝난 후 0.45μm pore filter를 이용하여 암석과 지하수를 여과분리하고 암석분말은 열에 의한 변화를 방지하기 위하여 동결건조(Freeze drying)한 후 분리한 지하수와 같이 4°C 냉장실에 보관하였다.

#### 2.2. 추적자용 방사성핵종

실험용 핵종으로서 고준위 핵 폐기물처분에서 중요한 액티늄계 핵종으로는 <sup>241</sup>Am을 선택하고, 액티늄계열의 흡착특성을 예측할 수 있는 희토류성분으로는 <sup>152</sup>Eu 이외에 <sup>160</sup>Tb와 <sup>169</sup>Yb을 선택하였다. 그리고 중/저준위 핵종으로는 <sup>60</sup>Co를 선택하였다. <sup>241</sup>Am과 <sup>152</sup>Eu은 미국의 Isotope Products Laboratory에서 구입하였고, <sup>160</sup>Tb, <sup>169</sup>Yb과 <sup>60</sup>Co은 한국원자력연구소의 Hanaro reactor를 이용하여 생성하였다. 흡착실험에 사용된 핵종의 농도는 각각 <sup>152</sup>Eu은 7.9×10<sup>-8</sup> mol/L, <sup>241</sup>Am은 1.8×10<sup>-6</sup> mol/L, <sup>160</sup>Tb는 7.3×10<sup>-4</sup> mol/L, 그리고 <sup>60</sup>Co는 3.0×10<sup>-3</sup> mol/L이다.

#### 2.3. 흡착 실험 및 흡착특성 산출

암석분말과 접촉을 통하여 전처리 후 보관중인 각각의 지하수 20mL를 50mL 원심분리용 polypropylene tube 넣고, 각 방사성추적자용액을 넣은 후 역시 전처리하여 보관중인 암석분말 1g 씩을 넣고 빛을 차단시킨 후 50strokes/min조건으로 교반하였다. 계획에 따라서 주기적으로 교반을 멈추고 원심분리기에서 20,000g의 조건에서 20분 동안 분리한 후 상층액 5mL를 취하여 각 방사성핵종의 비방사능을 측정하였다.

각각의 암석에 대한 방사성핵종들의 흡착특성은 아래의 식과 같이 지속적인 교반 중 주기적으로 측정한 상충액과 초기의 비방사능의 비율로 산출하였다.

$$R = A/A_0$$

여기에서, A는 지속적 교반 중, 상동액의 비방사능(cps/mL)이며,  $A_0$ 는 흡착실험 직전 초기의 비방사능(cps/mL)값이다.

### 3. 결과 및 토의

그림 1은 국내에 분포하는 화강암류에 대한 방사성 핵종의 흡착력을 보여주는 그림이다.

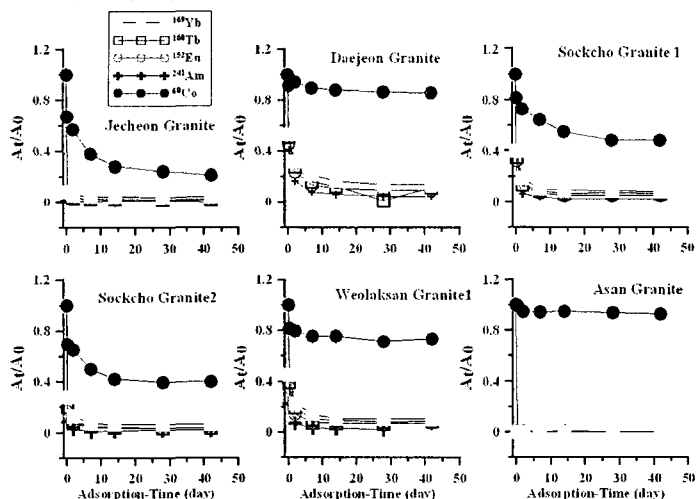


그림 1. 국내에 분포하는 화강암류에 대한  $^{241}\text{Am}$ ,  $^{152}\text{Eu}$ ,  $^{160}\text{Tb}$ ,  $^{169}\text{Yb}$ 과  $^{60}\text{Co}$ 의 흡착특성

그림 1에서 각종 핵종의 흡착특성은 다음과 같이 정리될 수 있다. 첫째  $^{241}\text{Am}$ ,  $^{152}\text{Eu}$ ,  $^{160}\text{Tb}$ 과  $^{169}\text{Yb}$ 은 대체적으로 서로 유사한 흡착특성을 보여주는 반면에  $^{60}\text{Co}$ 은 이들과는 다른 흡착특성을 갖는다. 둘째  $^{241}\text{Am}$ ,  $^{152}\text{Eu}$ ,  $^{160}\text{Tb}$ 과  $^{169}\text{Yb}$ 은 대전화강암을 제외하고는 실험시작 후 5일 이내에 거의 모두 흡착되었음을 알 수 있다. 셋째로  $^{60}\text{Co}$ 은 앞의 핵종들에 비해 화강암의 종류에 따라서 서로 다른 흡착력을 보여준다. 제천화강암과 속초화강암2에서는 7주(42일) 경과 후 60% 이상이 흡착된 반면에 아산화강암과 대전화강암의 경우 7주가 경과한 후에도 거의 흡착이 되지 않았음을 보여준다. 따라서 그림 1의 흡착실험결과는 다음과 같은 사항을 지시해준다고 볼 수 있다. 액티나이드계열인  $^{241}\text{Am}$ 과 희토류원소인  $^{152}\text{Eu}$ ,  $^{160}\text{Tb}$ ,  $^{169}\text{Yb}$ 은 암상의 변화, 암석의 광물조성 혹은 화학조성에 관계없이 지질매체에 항상 유사한 흡착력을 지닌다는 것을 지시해주는 것이다. 반면에  $^{60}\text{Co}$ 과 같은 2가의 중/저준위 핵종은 동일한 화강암이라 할지라도, 암상 특히 광물조성 및 암석의 화학조성에 따라 흡착력이 다름을 지시해주는 것이다. 현재의 실험결과로 최종결론을 내리기는 어려우나, 적어도 화강암지역에서의 중/저준위 핵종의 흡착력이 서로 큰 차이를 가지고 있으며, 이는  $^{60}\text{Co}$ 과 같은 핵종이 지하수내에 유입된다면 경우에 따라서는 대수층구성암석에 흡착됨이 없이 장기간 지하수와 더불어 유동될 수 있음을 지시해주는 것이다.

### 4. 참고문헌

- Johannesson, K., Stetzenbach, K. J., Hodge, V. H. and Lyons, W. B., 1996, Rare earth element complexation behaviour in circumneutral pH groundwaters: Assessing the role of carbonate and phosphate ions. Earth and Planetary Science Letter, 139, 305–319.  
 Krauskopf, K.B., 1986, Thorium and rare earth metals as analogs for actinide elements. Chemical Geology, 55, 323–335.